

محاسبه پارامترهای ساختاری دی اکسید قلع در فاز CaCl_2

حمدا. صالحی* و ماهرخ آریادوست

دانشگاه شهید چمران اهواز، گروه فیزیک

تاریخ ثبت اولیه: ۱۳۸۸/۳/۲۱، تاریخ دریافت نسخه اصلاح شده: ۱۳۸۸/۷/۲۱، تاریخ پذیرش قطعی: ۱۳۸۸/۸/۲۸

چکیده در این مقاله خصوصیات الکترونی ترکیب از جمله ساختار الکترونی، ثابت شبکه، مدول حجمی، تراکم پذیری خطی و بهینه سازی حجم سرامیک SnO_2 در فاز CaCl_2 بررسی شده است. همچنین بار مؤثر اتم های تشکیل دهنده آن و اثر فشار بر این ساختار مطالعه شده است. محاسبات با استفاده از روش امواج تخت تقویت شده خطی با پتانسیل کامل (FP-LAPW)، در چارچوب نظریه تابعی چگالی و با استفاده از نرم افزار Wien2k صورت گرفته است. نتایج به دست آمده با نتایج دیگران سازگاری دارد.

کلمات کلیدی ثابت شبکه، مدول حجمی، سرامیک SnO_2 .

Calculation of the structure parameters of Tin dioxide in CaCl_2 phase

H. Salehi and M. Aryadoust

Department of Physics, Shahid Chamran University of Ahvaz

Abstract In this paper, we studied the compound structure properties such as lattice constant, bulk module, compressibility, volume optimization in CaCl_2 phase of SnO_2 ceramic. Calculations were made with using a Full Potential-Linearized Augmented Plane Wave (FP-LAPW) method, in the framework Density Functional Theory(DFT)with different approximations and by using WIEN2k package. The obtained results are in a good agreement with the other results.

Keywords Lattice Constant, Bulk Module, SnO_2 Ceramic.

*عهده دار مکاتبات

نشانی: اهواز، دانشگاه شهید چمران اهواز، گروه فیزیک

تلفن: ۰۶۱۱-۳۳۳۱۰۴۰، پیام نگار: salehi-h@scu.ac.ir

۱- مقدمه

ساختار CaCl_2 مشاهده شده است [۹]. بررسی پراش اشعه X در فشارهای بالا نشان می‌دهد؛ ساختار روتیل می‌تواند به سه فاز ساختاری دیگر تبدیل شود. با افزایش فشار تا حدود $11/8 \text{ GPa}$ تحت شرایط هیدرواستاتیکی از فاز تراگونال با بیشترین تعادل به اورتورومبیک فاز نوع CaCl_2 منتقل شده و در فشار 12 GPa تحت شرایط هیدرواستاتیکی به فاز نوع $\alpha\text{-PbO}_2$ تبدیل می‌شود. هر دو فاز CaCl_2 و $\alpha\text{-PbO}_2$ فشار 21 GPa به یک فاز مکعبی فلورایت با گروه فضایی $\text{Pa}\bar{3}$ منتقل می‌شوند [۱۰]. به هر حال لایه‌های SnO_2 رسوب‌گیری شده تعداد چشمگیری جای خالی اکسیژن دارند که سبب رسانش الکترون‌ها می‌شود.

۲- نحوه انجام آزمایش

محاسبات با استفاده از روش FP-LAPW در چارچوب نظریه تابعی چگالی (DFT) با تقریب‌های مختلفی انجام شده است [۱۱-۱۳]. پارامترها به صورت $R_{MT}(O) = 1/7 \text{ au}$ و $R_{MT}(Sn) = 2/1 \text{ au}$ در نظر گرفته شده است. شعاع کره مافین-تین با توجه به شعاع کره اتمی و طول پیوندها انتخاب شده است همچنین حداکثر بار در داخل کره مافین-تین در بررسی شعاع مافین-تین مدنظر قرار گرفته است. برای جداسازی حالت‌های ظرفیت از حالت‌های مغزه، انرژی ۶- ریدبرگ به صورت مبنا قرار داده شده است، که با توجه به این جداسازی حالت‌های ظرفیت، مغزه و شبه مغزه در این ترکیب در جدول (۱) آمده است.

در اجرای برنامه، همگرایی انرژی مدنظر قرار گرفته است که با ۱۰ چرخه و با اختلاف انرژی $0/0001$ ریدبرگ، همگرایی ایجاد شده است. برای رسیدن به این همگرایی 3030 موج تخت تولید شده است که به ازای آن

دی‌اکسید قلع، ترکیبی غیرآلی با فرمول SnO_2 می‌باشد. این ماده یک جامد دیامغناطیس است. جرم ملکولی این پودر سفید رنگ $150/708 \text{ g/mol}$ و نقطه‌ی ذوب آن 1127°C می‌باشد [۱]. لایه نازک SnO_2 با توجه به کمبود اکسیژن، نیمه‌رسانای شفاف نوع n با انرژی باند ممنوعه بزرگ حدود $3/8-4/3 \text{ eV}$ است [۲،۳]. این در حالی است که با افزودن ناخالصی به SnO_2 ، تراز انرژی آن جابه‌جا می‌شود. مقاومت ویژه آن حدود $\rho = 1.073 \times 10^{-4} \Omega\text{m}$ است. به دلیل خواص بنیادی و کاربردهای فراوان این ماده در الکترونیک و الکترواپتیک و سایر رشته‌ها، مورد توجه بسیاری از پژوهشگران قرار گرفته‌است و در سال‌های گذشته تحقیقات تجربی فراوانی بر روی آن انجام شده است.

این سرامیک خواص بسیار مهمی همچون ثابت دی‌الکتریک بزرگ، رسانش الکتریکی بالا همراه با انتقالات اپتیکی در ناحیه‌ی مرئی دارد [۴-۷]. مقاومت ویژه پایین و انتقالات بالا سبب شده‌است از لایه‌های نازک SnO_2 در لایه‌های پنجره، بازگرداننده گرما و سلول خورشیدی استفاده شود [۷،۸]. دی‌اکسید قلع در ترکیب با اکسیدوانادیوم نقش کاتالیزور را برای اکسیداسیون ترکیبات آروماتیک در سنتز اسیدهای کربوکسی و اسیدآنیدرید دارد. دی‌اکسید قلع در صنعت سرامیک‌سازی، خصوصاً در ظروف سفالی استفاده می‌شود. این ماده معمولاً در شیشه مذاب حل نمی‌شود.

SnO_2 در حسگرهای گازی قابل احتراق به کار می‌رود، که در این حالت، سطح حسگر تا دمای ثابت کمتر از 100°C گرم شده و در حضور گاز قابل احتراق، مقاومت الکتریکی افت می‌کند [۶]. دی‌اکسید قلع در دمای 25°C و فشار 100 kPa دارای ساختار روتیل تراگونال با گروه فضایی $\text{P}4_2/\text{mm}, \#136$ است. اما به تازگی با استفاده از طیف‌سنجی پراکندگی رامان در

جدول ۱. تفکیک الکترون های مغزه، شبه مغزه و ظرفیت.

اتم	آرایش الکترونی مغزه	آرایش الکترونی شبه مغزه	آرایش الکترونی ظرفیت
Sn	$1s^2, 2s^2, 2p^6, 3s^2, 3p^6, 3d^{10}$	$4s^2, 4p^6, 4d^{10}$	$5s^2, 5p^2$
O	$1s^2$	$2s^2$	$2p^4$

$$E(V) = E_0 + \frac{B_0 V_0}{B'} \left[\frac{V}{V_0} + \frac{\left(\frac{V}{V_0}\right)^{1-B'}}{B'-1} \right] \quad \text{رابطه (۱)}$$

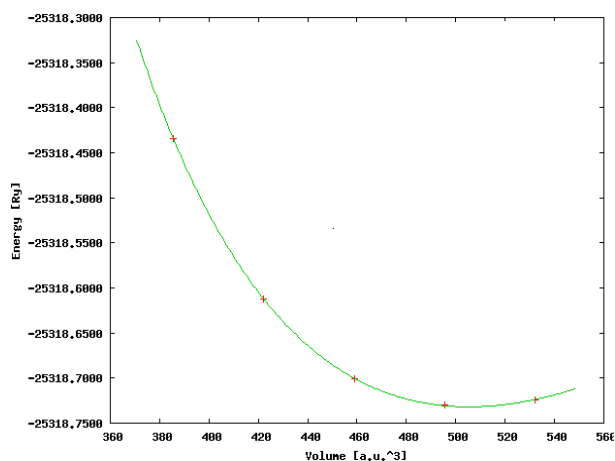
که در رابطه فوق V_0 حجم سلول اولیه، E_0 انرژی حالت پایه دردمافشار صفر، B_0 مدول حجمی و B' مشتق آن است. با استفاده از این معادله، کمینه انرژی برای ساختار SnO_2 در تقریب های مختلف به دست آورده شده است. که یکی از نتایج در شکل (۱) رسم شده است.

یک شبکه $(k\text{-mesh}) 40 \times 40 \times 40$ ایجاد شده است. پارامتر همگرایی RK_{max} برابر با ۷ انتخاب شده است. این پارامتر، تعداد پایه ها را در محاسبات کنترل می کند. ثابت های شبکه که به صورت تجربی اندازه گیری شده اند، برابر با $a=4/6533 \text{ \AA}$ ، $b=4/6313 \text{ \AA}$ و $c=3/155 \text{ \AA}$ می باشند که در محاسبات از آن استفاده شده است [۷-۹]. در این مقاله، برای محاسبه پتانسیل تبدیلی هم بستگی از تقریب های LDA و GGA استفاده شده است.

۳- نتایج و بحث

۳-۱- ساختار الکترونی

یکی از پارامترهای مهم در این محاسبات، ثابت شبکه است، این ثابت به صورت تجربی اندازه گیری شده و در دسترس می باشد. با وجود این برای تأیید نظری مسئله مجدداً محاسبه می شود. برای این منظور انرژی حالت پایه دی اکسید قلع به ازای حجم های مختلف، اطراف حجم تعادلی محاسبه و با تغییرات جزئی در اطراف حجم تعادلی وردش داده می شود. تغییرات انرژی بر حسب حجم از طریق معادله حالت مورناگون داده می شود که در این معادله انرژی کل به صورت تابعی از حجم به صورت رابطه ۱ بیان می شود [۱۴]:



شکل ۱. نمودار انرژی بر حسب حجم ساختار SnO_2 با استفاده از تقریب

GGA 96

وجود ندارد که بتوان با آن مقایسه کرد.

۲-۳- بررسی تأثیر فشار بر روی ساختار SnO₂

برای بررسی اثر تغییرات فشار روی ساختار SnO₂، وابستگی حجم به فشار از معادله حالت مورناگون به دست آمده و سپس با مشتق گرفتن از معادله فوق و استفاده از رابطه ترمودینامیکی $dE = -PdV$ ، وابستگی حجم به فشار تعیین می‌شود. این معادله به صورت زیر است:

$$V(P) = V_0 \left[\left(\frac{B'}{B_0} \right) P + 1 \right]^{-\frac{1}{B'}} \quad \text{رابطه (۲)}$$

در این رابطه V_0 ، B_0 و B' را با توجه به جدول (۲) در رابطه (۲) قرار داده شده و نمودار وابستگی حجم به فشار را برای

در ادامه این محاسبات کمیت‌های دیگری از قبیل ثابت شبکه، مدول حجمی، مشتق مدول حجمی نسبت به فشار و تراکم‌پذیری محاسبه و مقایسه شده‌اند. در جدول (۲) نتایج به دست آمده با داده‌های تجربی مقایسه شده‌اند.

از جدول (۲) مشاهده می‌شود که پارامترهای محاسبه شده با این روش سازگاری نسبتاً خوبی با نتایج تجربی دیگران دارد. از طرف دیگر با توجه به اینکه تراکم‌پذیری به صورت عکس مدول حجمی تعریف می‌شود بنابراین مدول حجمی نمایانگر سختی بلور است، یعنی هرچه مدول حجمی بیشتر باشد سختی بلور بیشتر است. در این مقاله، تراکم‌پذیری با استفاده از تقریب‌های مختلف برای SnO₂ به دست آمده‌است. این جدول بیانگر آن است که این ترکیب مدول حجمی نسبتاً فراوانی دارد. البته در این فاز مقدار تجربی مدول حجمی

جدول ۲: پارامترهای ساختاری محاسبه شده در کار حاضر و مقایسه‌ی آن با نتایج دیگران

کمیت محاسبه شده	FP-LAPW GGA96	FP-LAPW GGA91	FP-LAPW LDA	نتایج تجربی [۱۵]	نتایج نظری [۱۰]
$a(A^0)$	۴/۸۰۲۱	۴/۸۱۷۶	۴/۷۱۷۱	۴/۶۵۳۳	۴/۸۵۵
درصد اختلاف	۳/۱۹	۳/۵۳	۱/۳۷	-	۴/۳
$b(A^0)$	۴/۷۸۲۹	۴/۷۹۳۵	۴/۶۹۳۵	۴/۶۳۱۳	۴/۷۳۷
درصد اختلاف	۳/۲۱	۳/۵۰	۱/۳۴	-	۲/۲۴
$c(A^0)$	۳/۲۵۵۸	۳/۲۶۶۳	۳/۱۹۸۲	۳/۱۵۵۰	۳/۲۵۸
درصد اختلاف	۳/۱۹	۳/۵۲	۱/۳۶	-	۳/۲۶
b/a	۰/۹۹۶	۰/۹۹۵	۰/۹۹۵	۰/۹۹۵	۰/۹۷۶
c/a	۰/۶۷۸	۰/۶۷۸	۰/۶۷۸	۰/۶۷۸	۰/۶۷۱
B(Gpa)	۱۸۳/۸۱۵۰	۱۸۱/۲۷۰۴	۲۱۵/۸۴۹۰	-	۲۰۵
B'	۴/۴۲۹۵	۴/۳۴۰۲	۴/۵۴۰۴	-	-
$K (Gpa)^{-1}$	$\times 10^{-3}$ ۵/۴۴۰۳	$\times 10^{-3}$ ۵/۵۱۲۷	$\times 10^{-3}$ ۴/۶۳۲۹		$\times 10^{-3}$ ۴/۸۱۸۰

تراکم پذیری عکس مدول حجمی تعریف می شود و مدول حجمی بیانگر سختی بلور است، هرچه مدول حجمی بیشتر باشد سختی بلور نیز بیشتر است. تراکم پذیری حجمی از رابطه زیر به دست می آید:

$$K_V = -\frac{1}{V_0} \frac{dV}{dP} \quad \text{رابطه (۳)}$$

در این رابطه، V_0 حجم تعادلی در فشار صفر می باشد و مقدار آن از جدول (۲) در رابطه قرار می گیرد. با توجه به شیب منحنی شکل (۲)، $\frac{dV}{dP}$ محاسبه شده و در رابطه (۳) قرار داده می شود و از آنجا تراکم پذیری حجمی محاسبه می شود. تراکم پذیری که در واقع عکس مدول حجمی است با سختی بلور رابطه عکس دارد و هرچه تراکم پذیری بلور کمتر باشد، سختی بلور و قابلیت چکش خواری این ترکیب بیشتر است. با توجه به مقدار تراکم پذیری حجمی و همچنین زیادبودن مقدار مدول حجمی، می توان نتیجه گرفت که سرامیک SnO_2 یک جسم سخت است و به راحتی تغییر شکل نمی دهد و برای ایجاد تغییر شکل در بلور آن انرژی زیادی لازم است. همچنین می توان تراکم پذیری خطی را در راستای محورهای a و c از رابطه زیر به دست آورد:

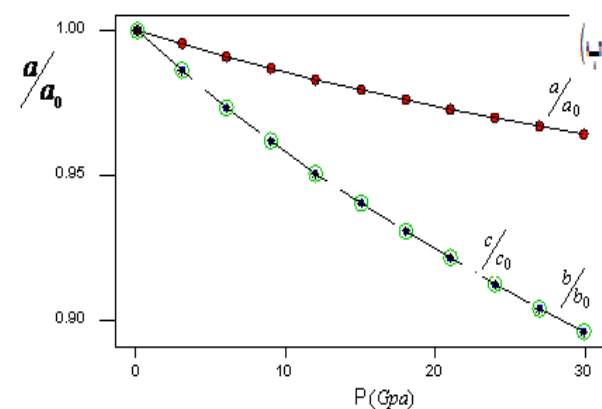
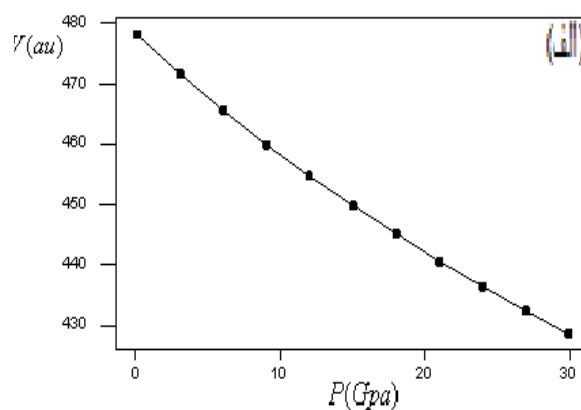
$$K_r = -\frac{V_0}{B_0} \frac{d \ln(r)}{dV} \quad \text{رابطه (۴)}$$

در این رابطه، r نمایانگر پارامترهای شبکه a ، b و c می باشد. برای به دست آوردن تراکم پذیری خطی در راستای a ، b و c ابتدا نمودارهای $\ln a$ ، $\ln b$ و $\ln c$ را برحسب حجم تعادلی رسم کرده و سپس تغییرات شیب محاسبه می شود. با توجه به مقادیر داده شده V_0 و B_0 در جدول (۲) مقدار تراکم پذیری خطی در راستای محورهای a و c به صورت زیر به

ترکیب SnO_2 در بازه $1-30 \text{ Gpa}$ رسم می شود. شکل (۲) این تغییرات را نشان می دهد.

از این نمودار مشخص است که با افزایش فشار حجم سلول واحد کاهش می یابد. تغییرات کم حجم در بازه مورد بررسی نشان دهنده تراکم پذیری کم این ترکیب و در نتیجه سختی زیاد آن است.

۳-۳- تراکم پذیری بلور SnO_2



شکل ۲: تغییرات، الف) حجم (ب) $\frac{a}{a_0}$ ، برحسب فشار برای

سرامیک SnO_2

جدول ۳: تراکم پذیری حجمی و تراکم پذیری خطی برای بلور SnO_2 در فاز $CaCl_2$

تراکم پذیری	FP-LAPW GGA96	FP-LAPW GGA91	FP-LAPW LDA	نتایج نظری [۱۰]
$K_v \times 10^{-3} (Gpa)^{-1}$	۵/۴۴۰۳	۵/۵۱۲۷	۴/۶۳۲۹	۴/۸۱۸۰
$K_a \times 10^{-3} (Gpa)^{-1}$	۱/۹۳۲۲	۱/۹۴۰۷	۱/۶۳۲۰	-
$K_b \times 10^{-3} (Gpa)^{-1}$	۵/۷۹۶۳	۵/۸۲۲۲	۴/۸۹۵۸	-
$K_c \times 10^{-3} (Gpa)^{-1}$	۵/۷۹۶۳	۵/۸۲۲۲	۴/۸۹۵۸	-

دست می‌آید که در جدول (۳) آمده است.

با توجه به نتایج به دست آمده می‌بینیم تراکم پذیری خطی در راستای محور c و b حدود سه برابر تراکم پذیری خطی در راستای محور a است. این نتایج نشان‌دهنده آن است که بلور SnO_2 ناهمسانگرد است و این ناهمسانگردی می‌تواند ناشی از تفاوت طول پیوندها در این ترکیب باشد. از آنجایی که طول پیوند O-O در صفحات بلور کوتاه‌تر از طول پیوند Sn-O بین لایه‌ها است. بنابراین تراکم پذیری درون لایه اکسیژن در راستای محور a کمتر از تراکم‌پذیری در راستای محور b و c بین لایه‌های اکسیژن و قلع است و این به دلیل آن است که اتم‌های اکسیژن با هم پیوند یونی برقرار می‌کنند در حالی که پیوند بین اتم‌های اکسیژن و قلع یونی ضعیف است و می‌تواند سبب تغییر شکل بیش‌تر در هنگام اعمال فشار در راستای محورهای b و c شود. بنابراین با توجه به اینکه تراکم‌پذیری نمادی از سختی بلور است، می‌توان گفت برای تغییر شکل در صفحات بلور در راستای محور a نسبت به محور b و c انرژی بیشتری نیاز است. جداول (۴) و (۵) اطلاعات مربوط به تجزیه بار اتم‌های مختلف را در این ترکیب با استفاده از تقریب‌های مختلف نشان می‌دهند.

بهینه شعاع کره مافین-تین است. از جمله پارامترهایی که در مطالعه خواص ساختاری ترکیب مورد توجه می‌باشد، بار مؤثر اتم‌های تشکیل‌دهنده آن می‌باشد. میزان این بار و میزان انحراف آن از بار اسمی اتم‌ها، دلیلی بر وجود پیوندهای یونی در ترکیب مورد نظر می‌باشد. در جدول (۶) بار مؤثر محاسبه شده برای اتم‌های تشکیل‌دهنده SnO_2 در تقریب‌های مختلف آورده شده و با بار اسمی مقایسه شده است.

با توجه به نتایج به دست آمده در جدول (۶)، د این ترکیب به‌طور متوسط برای هر اتم قلع، 0.4913 الکترون و برای هر اتم اکسیژن، 1.6523 الکترون وجود دارد. بنابراین فرمول یونی برای این ترکیب در فاز کلریدسديم به صورت $Sn^{0.4930}O^{1.65}$ می‌باشد. همان‌طور که می‌دانیم انحراف این فرمول از فرمول اسمی SnO_2 نشان‌دهنده وجود پیوند یونی بین اتم‌های تشکیل‌دهنده این ترکیب است که با نتایج به دست آمده توسط دیگران سازگاری خوبی دارد.

۳-۴. چگالی ابرالکترونی

چگالی ابرالکترونی در واقع نحوه توزیع بار در اطراف اتم‌ها را نشان می‌دهد. با توجه به میزان توزیع بار در اطراف اتم‌ها می‌توان نوع پیوند بین آن‌ها را تشخیص داد. تراکم زیاد

وجود ماکزیمم بار الکتریکی در داخل کره‌های مافین-تین برای اتم‌های SnO_2 تشکیل‌دهنده دلیل دیگری بر انتخاب

جدول ۴: تجزیه‌ی بار اتم Sn در تقریب‌های مختلف برای ترکیب SnO_2

نوع تقریب	FP-LAPW GGA96	FP-LAPW GGA91	FP-LAPW LDA	FP-LAPW LSDA
بار اسمی	۵۰	۵۰	۵۰	۵۰
بار داخل کره‌ی مافین-تین	۴۶/۷۹۵۴۱	۴۶/۷۹۸۴۶۱	۴۶/۸۵۴۰۲	۴۶/۸۵۴۱۲
Sn بار مغزه	۳۵/۹۶۹۷۸	۳۵/۹۷۵۸۹۸	۳۶/۴۲۸۳۸۷	۳۵/۳۲۸۴۸۹
Sn بار ظرفیت	۱۰/۸۲۵۶۳	۱۰/۸۲۵۶۳	۱۰/۴۲۵۶۳۳	۱۰/۵۲۵۶۳۱
بار بیرون کره‌ی مافین-تین	۳/۲۰۵۱۳	۳/۲۰۲۰۷۹	۳/۱۴۶۵۲	۳/۱۴۵۹۵
مجموع بارهای داخل و خارج کره‌ی مافین-تین	۵۰/۰۰۰۵۴	۵۰/۰۰۰۵۴	۵۰/۰۰۰۵۴	۵۰/۰۰۰۰۷

جدول ۵: تجزیه‌ی بار اتم O در تقریب‌های مختلف برای ترکیب SnO_2

نوع تقریب	FP-LAPW GGA96	FP-LAPW GGA91	FP-LAPW LDA	FP-LAPW LSDA
بار اسمی	۸	۸	۸	۸
بار داخل کره‌ی مافین-تین	۶/۶۵۹۲۶	۶/۸۶۵۴۵	۶/۶۴۵۴۰	۷/۰۵۵۵۵
O بار مغزه	۱/۴۰۲۳۰۳	۱/۶۱۴۷۴۳	۱/۵۳۴۶۳	۱/۷۴۷۳۲۸
O بار ظرفیت	۵/۲۵۶۹۵۷	۵/۲۵۰۷۰۷	۵/۱۱۰۷۷۰	۵/۳۰۸۲۲۲
بار بیرون کره‌ی مافین-تین	۱/۳۴۴۰۷۶	۱/۱۳۴۸	۱/۳۵۴۶۲	۱/۴۵۰۹۱
مجموع بارهای داخل و خارج کره‌ی مافین-تین	۸/۰۰۰۰۲	۸/۰۰۰۰۲	۸/۰۰۰۰۲	۸/۵۰۶۴۶

جدول ۶: تجزیه‌ی بار مؤثر اتم‌های تشکیل دهنده‌ی SnO_2 در تقریب‌های مختلف.

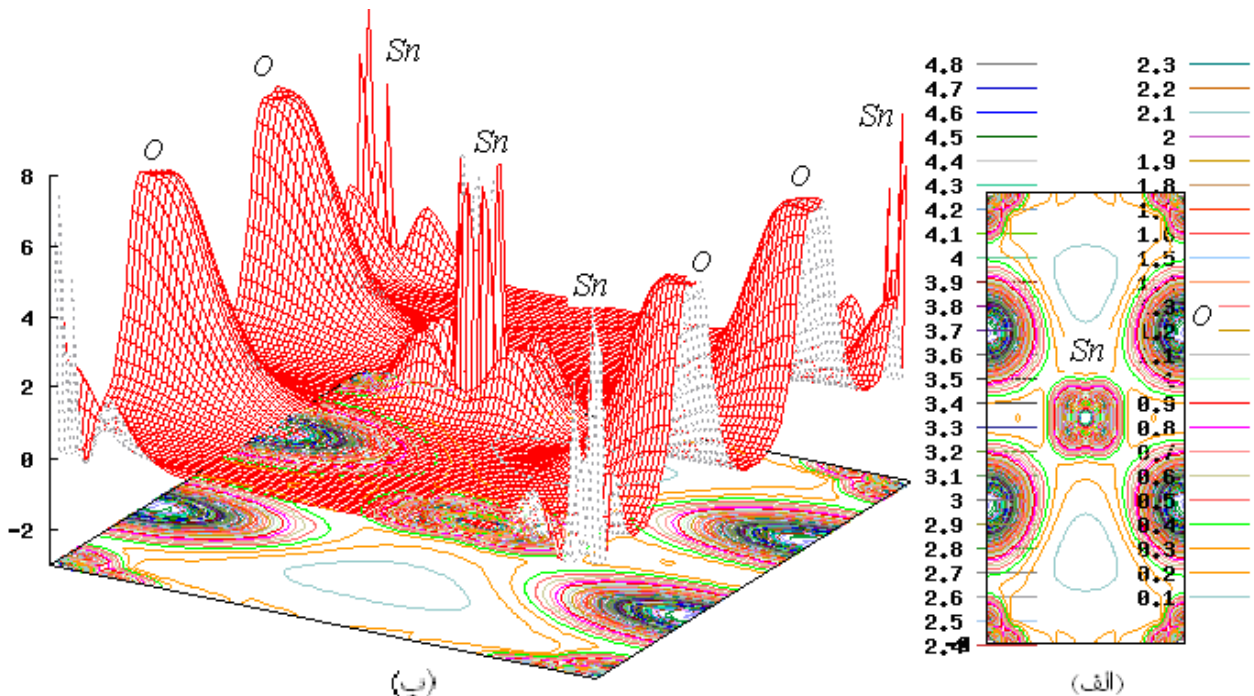
نوع تقریب	FP- LAPWGGA96	FP-LAPW GGA91	FP-LAPW LDA	FP-LAPW LSDA	بار اسمی
O بار مؤثر اتم	۱/۶۵۷۰	۱/۶۵۷۳	۱/۶۴۹۸	۱/۶۴۵۲	۲
Sn بار مؤثر اتم	۰/۴۸۷۶	۰/۴۸۹۵	۰/۴۹۹۹	۰/۴۸۸۰	۱

۴. نتیجه گیری

محاسبات با استفاده از روش امواج تخت تقویت شده خطی با پتانسیل کامل در چارچوب نظریه تابعی چگالی انجام شده است. از تحقیقات انجام شده می توان نتیجه گرفت ترکیب SnO_2 ، ماده ای سخت است. تراکم پذیری در راستای محورهای مختلف بیانگر این است که ترکیب SnO_2 ناهمسانگرد است (در راستای محور a کمتر از راستای محورهای دیگر است) و این می تواند ناشی از تفاوت طول پیوندها و نوع پیوندها در این ترکیب باشد. پارامترهای ساختاری به دست آمده در این تحقیق سازگاری نسبتاً خوبی با داده های به دست آمده دیگران دارد. همچنین انحراف فرمول یونی این ترکیب از فرمول اسمی آن بیانگر وجود پیوندهای

الکترون بین دو اتم نشان دهنده قوی بودن پیوندی بین آنها است و تراکم کمتر الکترون بین دو اتم پیوند ضعیف تری را بین آنها نشان می دهد. نمودار چگالی ابرالکترونی نشان دهنده تراکم الکترون ها در مکان های مختلف می باشد و از روی آن می توان فهمید که در چه نقاطی تراکم الکترون بیش تر و در چه نقاطی کم تر است. چگالی ابرالکترونی برای ترکیب SnO_2 در صفحه (۱۱۰) برای تمام تقریب ها محاسبه شده است، که فقط یکی از آنها در شکل (۳) نشان داده شده است.

چگالی ابرالکترونی نشان داده شده بیانگر وجود یک پیوند یونی بین اتم های تشکیل دهنده این ترکیب است که وجود فرمول یونی و انحراف از فرمول اسمی این موضوع را تأیید می کند.



شکل ۳. چگالی ابرالکترونی SnO_2 در صفحه (۱۱۰) با تقریب $GGA96$ در فاز $CaCl_2$ الف: در دو بعد، ب: در سه بعد

7. D. Dobler, S. Oswald, G. Behr, J. Werner, and K. Wetzig, Cryst. Res. Technol. 38, 956 (2003).
8. G. Frank, et al., Sol. Energ. Mat. 8, 387 (1983).
9. H. Hellwing, A. F. Goncharov, E. Gregoryanz, H. K. Mao and R. J. Hemley, Phys. Rev. B 67, 174110 (2003).
10. F. Haj Hassan, A. Alaeddine, M. Zoeter and I. Rachidi, Interaction Journal of modern physics B, (2005).
11. P. Blaha, K. Schwarz WIEN2k, Vienna university of technology, Austria (2006).
12. J. P. Perdew, J. A. Chavary and et al, Phys. Rev. B 48, 6671-6687 (1992).
13. H. Salehi, India Journal of physics, Vol 80, No. 12, 1167-1246 (2006).
14. E. K. Evangelou, C. Wiemer, and M. Fanciulli, M. Sethu and W. Cranton, J. Appl. Phys., 94(1), 318-325, (2003).
15. J. Haines and J. M. Leger, Phys. Rev. B 55, 11144 (1997).

یونی در بین اتم‌های آن است، که چگالی ابر الکترونی هم آن را تأیید می‌کند.

مراجع

1. [http://en.Wikipedi.org/Wiki/Tindioxide\(2008\)](http://en.Wikipedi.org/Wiki/Tindioxide(2008))
2. K. L. Chopra. et al.. Thin Solid Films 102, 1 (1983).
3. T. J. Coutts, et al., MRS. Bull. 25, 58 (2000).
4. C. Sevik and C. Bulutay, phy. Rev. B 74, 193201 (2006).
5. F. Sherwood Taylor Heineman ab Inorganic & Theoretical Chemistry, 6th Edition (1942).
6. E. Elangovan and K. Ramamurthi, Cryst. Res. Technol. 38, 779 (2003).